



Universidade Federal do Ceará
Centro de Tecnologia
Departamento de Engenharia de Teleinformática
Curso de Engenharia de Computação

BRUNO RICCELLI DOS SANTOS SILVA

**PROJETO DE UM FRAMEWORK DE
DETECÇÃO DE ATAQUES DISTRIBUÍDOS DE
NEGAÇÃO DE SERVIÇO**

Fortaleza, Ceará
2017

BRUNO RICCELLI DOS SANTOS SILVA

**PROJETO DE UM FRAMEWORK DE
DETECÇÃO DE ATAQUES DISTRIBUÍDOS DE
NEGAÇÃO DE SERVIÇO**

Monografia apresentada ao Curso de Engenharia de Computação da Universidade Federal do Ceará, como requisito parcial para obtenção do Título de Bacharel em Engenharia de Computação.

Orientador: Prof. RICARDO JARDEL NUNES DA SILVEIRA

Co-Orientador: Prof. MARCELO ARAÚJO LIMA

**Fortaleza, Ceará
2017**

Lista de ilustrações

Lista de tabelas

Tabela 1 – Exemplo base de dados DARPA	10
Tabela 2 – Exemplo base de dados DARPA	12

Lista de abreviaturas e siglas

1G	1ª Geração
3G	3ª Geração
3GPP	<i>3rd Generation Partnership Project</i>
4G	4ª Geração
AWGN	<i>Additive White Gaussian Noise</i>
BLER	<i>Block Error Rate</i>
BS	<i>Base Station</i>
CBR	<i>Constant Bit Rate</i>
CDMA	<i>Code-Division Multiple Access</i>
CQI	<i>Channel Quality Indicator</i>
CRA	<i>Capacity-driven Resource Allocation</i>
CSI	<i>Channel State Information</i>
DSM	<i>Delay-based Satisfaction Maximization</i>
EXP	<i>Exponential</i>
EXP/PF	<i>Exponential/Proportional Fair</i>
FER	<i>Frame Erasure Rate</i>
HOL	<i>Head of Line</i>
IP	<i>Internet Protocol</i>
LTE	<i>Long Term Evolution</i>
MCS	<i>Modulation and Coding Scheme</i>
MDU	<i>Max-Delay-Utility</i>
MIMO	<i>Multiple Input Multiple Output</i>
MLWDF	<i>Modified Largest Weighted Delay First</i>
MMF	<i>Max-Min Fairness</i>
NRT	<i>Non Real Time</i>
OFDM	<i>Orthogonal Frequency Division Multiplexing</i>
OFDMA	<i>Orthogonal Frequency Division Multiple Access</i>
PF	<i>Proportional Fair</i>

PLR	<i>Packet Loss Ratio</i>
QAM	<i>Quadrature Amplitude Modulation</i>
QHMLWDF	<i>Queue-HOL-MLWDF</i>
QoS	<i>Quality of Service</i>
QPSK	<i>Quadrature Phase Shift Keying</i>
RB	<i>Resource Block</i>
RM	<i>Rate Maximization</i>
RRA	<i>Radio Resource Allocation</i>
RRM	<i>Radio Resource Management</i>
RT	<i>Real Time</i>
RU	<i>Resource Unit</i>
SISO	<i>Single Input Single Output</i>
SNR	<i>Signal to Noise Ratio</i>
SORA-NRT	<i>Satisfaction-Oriented Resource Allocation for NRT Services</i>
TCP	<i>Transport Control Protocol</i>
TSM	<i>Throughput-based Satisfaction Maximization</i>
TTI	<i>Transmission Time Interval</i>
UEPS	<i>Urgency and Efficiency-based Packet Scheduling</i>
VBR	<i>Variable Bit Rate</i>
VoIP	<i>Voice over IP</i>
VTMLWDF	<i>Virtual Token MLWDF</i>
WCDMA	<i>Wideband Code Division Multiple Access</i>
ZMCSCG	<i>Zero Mean Circularly Symmetric Complex Gaussian</i>

Lista de símbolos

C_i	Conjunto de canais (frequências) utilizados por um célula
\mathcal{K}	Conjunto dos RBs
K	Número total de RBs
k	Índice que representa um RB do conjunto \mathcal{K}
\mathcal{J}	Conjunto dos usuários
J	Número total de usuários
j	Índice que representa um usuário do conjunto \mathcal{J}
$h_{j,k}$	Coefficiente do canal entre a BS e o usuário j no RB k
P_t	Potência total de uma BS
p_k	Potência alocada para o RB k
L_j^{percurso}	Perda de percurso do usuário j
σ_{sh}	Desvio padrão da modelagem do sombreamento lognormal
$\gamma_{j,k}$	SNR do usuário j no RB k
σ^2	Potência média do AWGN
$r_{j,k}$	Taxa de transmissão que pode ser atingida pelo usuário j no RB k
$f(\cdot)$	Função de adaptação de enlace
R_j	Taxa total alocada para o usuário j
\mathcal{K}_j	Subconjunto de RBs alocados para usuário j
K	Número total de RBs
$\hat{h}_{j,k}$	Coefficiente de canal estimado entre a BS e o usuário j no RB k
ψ	Degradação da estimação do canal
η	Erro inserido na estimação do canal
n	Índice que representa um determinado TTI
$\mathbb{E}\{\cdot\}$	Operador esperança (valor esperado)
Δn	Atraso da CSI
τ	Média da distribuição de probabilidade exponencial
λ	Probabilidade de transição do estado de silêncio para fala
μ	Probabilidade de transição do estado de fala para silêncio

FER_j	Taxa de perda de quadro do usuário j
κ_j^{desc}	Número de pacotes descartados do usuário j
$\kappa_j^{\text{sucesso}}$	Número de pacotes transmitidos com sucesso do usuário j
Υ	Porcentagem de usuários satisfeitos
J^{sat}	Número de usuários satisfeitos
T_j	Vazão de dados do usuário j
$\Phi_{\text{req}}^{\text{nrt}}$	Requerimento de vazão de dados do serviço NRT
$FER_{\text{req}}^{\text{rt}}$	Requerimento de FER do serviço RT
w_j	Tempo de espera médio do usuário j
$U(\cdot)$	Função de utilidade
λ_j	Taxa de geração de pacotes da fonte do serviço utilizado pelo usuário j
\bar{Q}_j	Tamanho médio da fila de pacotes do usuário j
f_{fila}	Constante de filtragem para cálculo de \bar{Q}_j
j^*	Usuário selecionado para transmitir no recurso k durante o TTI n
$U'(\cdot)$	Derivada primeira de $U(\cdot)$
$\arg \max\{\cdot\}$	Função que calcula o máximo valor entre os argumentos
$ \cdot $	Função módulo
d_j^{hol}	Atraso do pacote HOL do usuário j
f_{thru}	Constante de filtragem para cálculo de T_j
θ_j	Quantidade de bits dos pacotes que chegaram na fila do usuário j
t_{tti}	Duração do TTI
$\Phi_{\text{req}}^{\text{rt}}$	Requerimento de limite de tempo para entrega do pacote do serviço RT
α	Máxima probabilidade permitida que os pacotes excedam o tempo limite pré-estabelecido
$\overline{d_j^{\text{hol}}}$	Média do atraso dos pacotes HOL de todos os usuários RT ativos

Sumário

1	METODOLOGIA	9
1.1	Modelo de correlação NaHiD	9
1.2	Detecção de Ataques DDOS usando NaHiD	9
<i>1.2.1</i>	<i>DARPA - MIT</i>	<i>9</i>
<i>1.2.2</i>	<i>DataMining</i>	<i>11</i>
	REFERÊNCIAS	13

1 Metodologia

Neste capítulo, os detalhes do *framework* serão apresentados bem como a modelagem do ambiente de simulação utilizado para a detecção de Ataques [DDOS]

1.1 Modelo de correlação NaHiD

Neste trabalho, o *framework* utilizado baseia-se na correlação proposta por (HOQUE; KASHYAP; BHATTACHAARYYA, 2017) chamada NaHiD, cujo objetivo é distinguir objetos de tráfego normais e maliciosos. Tal medida leva em consideração principalmente desvio padrão e média de cada objeto, ponderando cada elemento como mostrado na fórmula a seguir:

$$NaHiD(X, Y) = 1 - \frac{1}{n} \sum_{i=1}^n \frac{(|X(i) - Y(i)|)}{||\mu X - sX| - X(i)| + ||\mu Y - sY| - Y(i)|} \quad (1.1)$$

onde

- μX : Média do objeto de tráfego X.
- μY : Média do objeto de tráfego Y.
- sX : Desvio padrão do objeto de tráfego X.
- sY : Desvio Padrão do objeto de tráfego Y.

As provas de simetria e identidade da correlação podem ser encontradas em (HOQUE; KASHYAP; BHATTACHAARYYA, 2017)

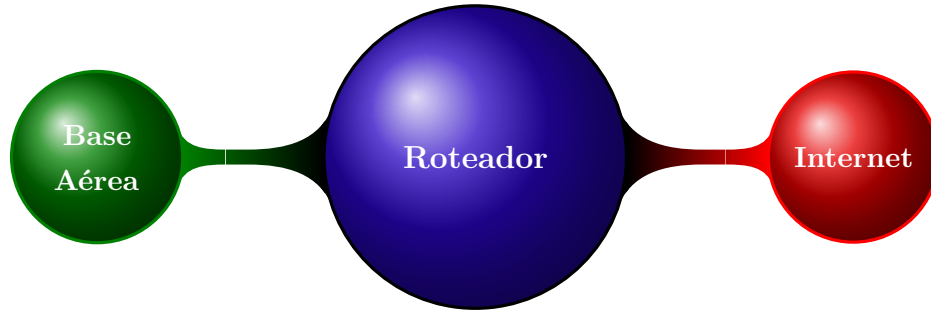
1.2 Detecção de Ataques DDOS usando NaHiD

Para a avaliação do trabalho, duas bases de tráfegos de rede foram escolhidas: DARPA e DataMining[escolher melhor esse nome] os quais serão mais detalhados aa seguir

1.2.1 DARPA - MIT

A base de dados DARPA foi produzida por pesquisadores do *Lincoln Laboratory* do Instituto de Tecnologia de Massachusetts nos Estados Unidos e tem por objetivo coletar dados de tráfego de rede da Força Aérea do país para encontrar vulnerabilidades em seu sistema bem como ser utilizado para avaliações futuras . Os dados foram coletados e

passaram por uma fase de treinamento de 7 semanas com 38 tipos de ataques para simular ameaças internas a rede. O ambiente de rede era composto por duas partes: a rede interna da Força aérea e a rede externa que representava a Internet; ambos conectados por meio de um roteador como mostra a figura abaixo



Tal banco de dados é disponibilizado pela DARPA em um arquivo de extensão tcpdump, bem como a listagem de tráfegos normais e ataques rotulados como mostrados nas tabelas seguir

No presente trabalho ferramentas como edicap e tcpdump foram utilizadas para o tratamento desse dataset. Assim, algumas considerações devem ser feitas:

- Janela de um segundo de tráfego
- Cálculo de entropia, variação de IPs origem e taxa de pacotes média
- Cálculo da correlação NaHiD

Tabela 1 – Exemplo base de dados DARPA

Número	Tempo	Origem	Destino	Protocolo	Tamanho[bytes]
1	18:56:12.1386	192.168.0.20	192.168.0.30	TCP	60
2	18:56:12.1391	192.168.0.30	192.168.0.20	TCP	60
3	18:56:12.1588	192.168.0.30	192.168.0.20	TELNET	84
4	18:56:12.2099	192.168.0.20	192.168.0.30	TCP	60
5	18:56:13.0567	192.168.0.20	192.168.0.30	TELNET	69
6	18:56:13.0584	192.168.0.30	192.168.0.20	TELNET	66
7	18:56:13.0626	192.168.0.20	192.168.0.30	TELNET	72
8	18:56:13.0821	192.168.0.30	192.168.0.20	TCP	60

Fonte: Elaborada pelo autor, baseada em (??).

1.2.2 DataMining

Outra base de dados estudada no trabalho foi a desenvolvida por (??) a qual consta em sua totalidade por ataques DDOS de quatro tipos:

- SIDDOS
- HTTP Flood
- UDDP Flood
- Smurf

A Tabela abaixo mostra os campos do *dataset*

Algumas considerações foram tomadas para a análise dessa base de dados:

- Para construir a janela de um segundo, considerou-se a soma de todos os atrasos por pacote:
 - Atraso de nó do pacote.
 - Atraso de pacote.
 - Tempo de pacote reservado.
- A média das taxas dos pacotes foi considerada dentro da janela de um segundo.
- Por ser um dataset composto apenas por ataques, a comparação com o limiar inverte-se para denotar o quanto dois pacotes são parecidos na correlação.

Tabela 2 – Exemplo base de dados DARPA

Número	Tempo
1	Endereço IP origem
2	Endereço IP destino
3	Id do pacote
4	Nó origem
5	Nó destino
6	Tipo de pacote
7	Tamanho do pacote
8	Flags
9	Id da flag
10	Número de sequência
11	Número de pacotes
12	Número de bytes
13	Nome do nó origem
14	Nome do nó destino
15	Entrada de pacote
16	Saída de pacote
17	Taxa de pacotes Recebidos
18	Atraso de nó do pacote
19	Taxa de pacotes
20	Taxa de bytes
21	Tamanho médio do pacote
22	Utilização
23	Atraso de pacote
24	Tempo de envio do pacote
25	Tempo de pacote reservado
26	Primeiro pacote enviado
27	Último pacote reservado

Fonte: Elaborada pelo autor, baseada em (??).

Referências

HOQUE, N. *et al.* Real-time DDOS attack detection using FPGA. **Computer Communications**, p. 48–58, 2017.

Citado na página 9.